

Un critère de laminarité locale en dimension quelconque

Henry de Thélin

Résumé

Nous montrons qu'une suite de sous-ensembles analytiques lisses de dimension s de la boule unité de \mathbb{C}^l , dont la courbure est contrôlée par le volume, converge vers une lamination de dimension s dans un sens faible.

A criterion of local laminarity for all dimensions

Abstract

We show that a sequence of smooth analytic subsets of dimension s of the unit ball of \mathbb{C}^l , for which the curvature is bounded by the volume, converges to a lamination of dimension s in a weak sense.

Mots-clefs : courants, laminarité.

Classification : 32U40, 32H50.

Introduction

Dans cet article, on s'intéresse à des limites de sous-ensembles analytiques M_n de dimension s de la boule unité de \mathbb{C}^l . La question est de savoir si celles-ci ont conservé un certain caractère analytique.

Lorsque le volume de M_n est uniformément borné, on sait que c'est le cas. En effet, quitte à extraire une sous-suite, M_n converge vers un sous-ensemble analytique de B : c'est le théorème de Bishop (voir [2]).

Quand le volume n'est plus majoré et que $s = 1$, $l = 2$, cette question a été résolue dans [5]. Plus précisément, dans cet article on a montré le :

Théorème. *Voir [5]*

Soit C_n une suite de courbes analytiques lisses de la boule unité B de \mathbb{C}^2 .

On note A_n l'aire de C_n , G_n le genre de C_n et on suppose que $T_n = \frac{[C_n]}{A_n}$ converge vers un $(1,1)$ -courant positif fermé T de B (toujours possible quitte à extraire une sous-suite).

Alors, si $G_n = O(A_n)$, T est laminaire.

Un courant positif de bidimension $(1, 1)$ est laminaire s'il s'écrit localement comme une intégrale de courants d'intégration sur une famille de disques disjoints, hors d'un ensemble négligeable (voir [1]).

Par ailleurs, les exemples de Wermer (voir [10]) permettent de construire des suites de courbes analytiques lisses C_n de la boule unité B dont le genre croît plus vite que l'aire aussi lentement que l'on veut et pour lesquelles les limites ne contiennent aucun disque analytique.

Signalons aussi que le théorème précédent est une version locale de résultats de nature globale dans $\mathbb{P}^2(\mathbb{C})$ (i.e. où les courbes C_n n'ont pas de bord) qui sont dus à E. Bedford, M. Lyubich et J. Smillie (voir [1]) et R. Dujardin (voir [9]). Par ailleurs, tous ces résultats ont permis de montrer que certains courants issus de la dynamique holomorphe et méromorphe sont laminaires (voir [1], [9] et [6]).

L'objectif de cet article est de traiter le cas où les dimensions s et l sont plus grandes. Pour cela, on remplace tout d'abord la notion de courants laminaires par celle de courants tissés (voir [7]). Un courant positif de bidimension (s, s) est tissé s'il s'écrit localement comme une intégrale de courants d'intégration sur une famille de boules de dimension s , hors d'un ensemble négligeable (voir le paragraphe 1 pour plus de détails). Ensuite, on remplacera la notion de genre par celle d'une courbure que l'on va définir maintenant.

On considère une suite M_n de sous-ensembles analytiques lisses de dimension s de la boule unité B de \mathbb{C}^l . Dans toute la suite, on considèrera \mathbb{C}^l comme sous-ensemble de $\mathbb{P}^l(\mathbb{C})$ et on notera $\tilde{G}(l-s, l)$ l'ensemble des plans complexes de dimension $l-s$ dans $\mathbb{P}^l(\mathbb{C})$ (voir par exemple [4] p. 165). Les ensembles

$$\widetilde{M}_n = \{(x, \mathcal{D}), x \in M_n, x \in \mathcal{D} \in \tilde{G}(l-s, l) \text{ et } \mathcal{D} \text{ pas transverse à } T_x M_n\}$$

vivent dans l'espace produit $\mathbb{C}^l \times \tilde{G}(l-s, l)$. C'est par définition le volume de \widetilde{M}_n que l'on appellera courbure de M_n .

Le but de cet article est alors de démontrer le critère suivant :

Théorème 1. *Soit M_n une suite de sous-ensembles analytiques lisses de dimension s de la boule unité B de \mathbb{C}^l .*

On suppose que $T_n = \frac{[M_n]}{\text{Volume}(M_n)}$ converge vers un courant positif fermé T de bidimension (s, s) de B (toujours possible quitte à extraire une sous-suite).

Alors, si $\text{Volume}(\widetilde{M}_n) = O(\text{Volume}(M_n))$, T est tissé. De plus si $s = l - 1$ alors T est laminaire.

Signalons que les exemples précédents de Wermer montrent que ce théorème est optimal. Par ailleurs, une version globale du critère (i.e. dans le cas où les M_n n'ont pas de bord) a été démontrée par T.-C. Dinh dans [7]. Enfin, de même que le critère de T.-C. Dinh, notre théorème a pour vocation de démontrer que certains courants issus de la dynamique holomorphe et méromorphe sont tissés.

Voici maintenant le plan de ce texte. Après un premier paragraphe consacré à des préliminaires, le second traitera le cas d'une suite de courbes dans \mathbb{C}^l (i.e. $s = 1$ et l quelconque). Enfin, dans le dernier paragraphe, on démontrera le critère précédent pour toutes les dimensions de sous-variétés analytiques.

Remerciements : Je remercie T.-C. Dinh pour les discussions fructueuses que nous avons eues au sujet de cet article, ainsi que pour ses encouragements.

1 Préliminaires

Dans ce paragraphe, nous allons rappeler les notions de courants tissés (voir [7]) et courants laminaires (voir par exemple [1], [3], [5] et [9]).

Considérons un ouvert Ω de \mathbb{C}^l et T un courant positif de bidimension (s, s) .

Définition 1. *Le courant T est uniformément tissé de dimension s dans Ω si pour tout $x \in \text{Supp}(T) \cap \Omega$, il existe un polydisque B , un ouvert U de B contenant x et une constante $c(B, T)$ tels que :*

$$T|_U = \int_{\Gamma \in \mathcal{G}} [\Gamma \cap U] d\lambda(\Gamma).$$

Ici \mathcal{G} est l'ensemble des sous-ensembles analytiques irréductibles de dimension s de B de masse inférieure à $c(B, T)$ et λ est une mesure sur cet espace compact.

Remarquons qu'a priori les Γ ne sont pas supposés disjoints. Cependant, si pour tous Γ et Γ' du support de λ on a $\Gamma \cap \Gamma' = \emptyset$ ou $\text{Dimension}(\Gamma \cap \Gamma') = s$, on dira que T est uniformément laminaire de dimension s .

De façon analogue aux courants laminaires, on peut maintenant définir :

Définition 2. *Un courant T est tissé (respectivement laminaire) de dimension s dans Ω s'il existe une suite d'ouverts $\Omega_i \subset \Omega$ avec $||T||(\partial\Omega_i) = 0$ et une suite croissante $(T_i)_{i \geq 0}$, T_i uniformément tissés (respectivement uniformément laminaires) de dimension s dans Ω_i tels que $\lim_{i \rightarrow \infty} T_i = T$.*

2 Le cas d'une suite de courbes dans \mathbb{C}^l

Considérons une suite C_n de courbes analytiques lisses de la boule unité de \mathbb{C}^l telle que le volume de $\widetilde{C}_n \subset \mathbb{C}^l \times \widetilde{G}(l-1, l)$ soit borné par $O(\text{Volume}(C_n))$.

L'objectif de ce paragraphe est de montrer que les valeurs d'adhérence de $\frac{[C_n]}{\text{Volume}(C_n)}$ sont tissées (ou laminaires si $l = 2$).

Voici le plan de la démonstration. Dans un premier paragraphe, nous allons montrer que le contrôle sur le volume de \widetilde{C}_n implique que

$$\int_{C_n} K dV \geq -O(\text{Volume}(C_n)),$$

où K est la courbure de Gauss de C_n . On utilisera pour cela un résultat de R. Langevin et T. Shifrin (voir [12]). Dans le second paragraphe, nous verrons que ce contrôle de la courbure implique que le genre de C_n est en $O(\text{Volume}(C_n))$ quitte à réduire un peu la boule B . Enfin, en utilisant [5], nous en déduirons que les limites de $\frac{[C_n]}{\text{Volume}(C_n)}$ sont tissées (ou laminaires si $l = 2$).

2.1 Contrôle de la courbure de Gauss des courbes C_n

Tout d'abord d'après le théorème 4.3 de [12] on sait que

$$-\frac{1}{\pi} \int_{C_n} K dV = \int_{G(l-1,l)} n(C_n, H) dH,$$

où $n(C_n, H) = \#\{z \in C_n, T_z C_n \subset H\}$ (compté avec multiplicité) et $G(l-1, l)$ est l'ensemble des hyperplans de \mathbb{C}^l .

Maintenant, si on fixe un hyperplan H de \mathbb{C}^l (par exemple $z_1 = 0$) alors les hyperplans affines $z_1 = a$ (avec $a \in \mathbb{C}$) décrivent une droite L dans $\tilde{G}(l-1, l)$. De plus $n(C_n, H)$ est le nombre d'intersection de L avec la projection de \tilde{C}_n sur $\tilde{G}(l-1, l)$. Autrement dit $\int_{G(l-1,l)} n(C_n, H) dH$ est majoré par $\text{Volume}(\tilde{C}_n)$.

En combinant les relations obtenues, on a donc bien

$$\int_{C_n} K dV \geq -O(\text{Volume}(C_n)).$$

2.2 Passage du contrôle de la courbure à celui du genre

Dans ce paragraphe, nous allons montrer la

Proposition 2. *Soit C une courbe lisse de la boule unité B de \mathbb{C}^l . On suppose que C n'a pas de bord dans la boule B et on munit C de la métrique hermitienne induite. Alors, on a :*

$$\text{Genre}(C \cap \rho B) \leq c(\rho) \left(\text{Volume}(C) - \int_C K dV \right)$$

pour tout $0 < \rho < 1$.

Démonstration. Considérons trois boules concentriques ρB , $\rho' B$ et B (où ρ' est générique et strictement compris entre ρ et 1).

L'idée va être de transformer les composantes de bord de $C \cap \rho' B$ en des courbes géodésiques par morceaux. On obtiendra ainsi une surface \tilde{C} à bord géodésique par morceaux. Le calcul du genre de \tilde{C} passera alors par une minoration de $\chi(\tilde{C})$ qui sera obtenue par la formule de Gauss-Bonnet.

1) Transformation du bord de C

Soit b une composante de bord de $C \cap \rho'B$. Si la longueur de b est inférieure à ϵ ($\epsilon \ll \min(1 - \rho', \rho' - \rho)$), on note \tilde{b} la plus petite courbe dans la classe d'homotopie de b (dans \overline{C}). Cette courbe \tilde{b} est proche de b . En effet, en terme d'homologie $\tilde{b} - b$ est le bord de S . Mais si ω désigne la forme kählerienne de \mathbb{C}^l , on a $\omega = d\lambda$ dans B d'où :

$$\text{Aire}(S) = \int_S \omega = \int_S d\lambda = \int_{\partial S} \lambda \leq \|\lambda\|(\text{Longueur}(\tilde{b}) + \text{Longueur}(b)) \leq 2\epsilon\|\lambda\|,$$

car la longueur de \tilde{b} est inférieure à ϵ .

La courbe \tilde{b} reste donc dans un $\epsilon^{1/3}$ -voisinage de b par le théorème de Lelong (voir [13]). En particulier \tilde{b} est une géodésique (elle ne touche pas le bord de B). De plus, en utilisant de nouveau le théorème de Lelong, on constate que S reste dans un $2\epsilon^{1/3}$ -voisinage de $\partial\rho'B$.

Traitons maintenant le cas d'une composante de bord b de $C \cap \rho'B$ de longueur au moins ϵ .

On découpe b en $\lceil \frac{L}{\epsilon} \rceil + 1$ morceaux de longueur inférieure ou égale à ϵ . Fixons une de ces composantes connexes. Dans la classe d'homotopie de cette composante avec les deux extrémités fixées on choisit la plus petite courbe. Comme elle est de longueur inférieure à ϵ , elle reste dans un ϵ -voisinage de $\partial\rho'B$ et elle est donc une géodésique. En recommençant le procédé avec toutes les composantes connexes de b , on obtient des géodésiques qui une fois réunies forment une courbe \tilde{b} homotope à b et géodésique par morceaux. Remarquons que \tilde{b} vit dans un ϵ -voisinage de b et que par les mêmes arguments que précédemment, si $\tilde{b} - b = \partial S$, S reste dans un $\epsilon^{1/3}$ -voisinage de b (utiliser les arguments pour chaque composante connexe du découpage de b).

Dans la suite, on notera \mathcal{S} l'ensemble des sommets qui sont aux extrémités des composantes connexes qui découpaient les bords de longueur supérieure à ϵ .

Faisons un bilan de ce que l'on a fait : à toute composante de bord b de $C \cap \rho'B$, on a associé une géodésique \tilde{b} (si la longueur de b était inférieure à ϵ), ou une géodésique par morceaux \tilde{b} (si la longueur de b était supérieure à ϵ). Le bord de $C \cap \rho'B$ est homologue à cette union de géodésiques et géodésiques par morceaux $\cup \tilde{b}$. Enfin $\cup \tilde{b} - \partial(C \cap \rho'B)$ est le bord de quelque chose qui vit dans un $2\epsilon^{1/3}$ -voisinage de $\partial\rho'B$.

Maintenant, si on découpe C suivant les courbes \tilde{b} , on obtient un certain nombre de composantes connexes. On notera \tilde{C} l'union de ces composantes connexes qui rencontrent $C \cap \rho B$.

2) Minoration de $\chi(\tilde{C})$

Remarquons tout d'abord que le bord de \tilde{C} est constitué uniquement de morceaux des \tilde{b} construits précédemment. En effet, si cela n'était pas le cas, on pourrait construire une courbe γ dans la surface C qui joindrait un point de ρB à un point de ∂B sans jamais toucher un bord \tilde{b} (toute composante connexe de \tilde{C} rentre dans ρB). En terme d'intersection, on aurait donc $\gamma \cdot (\cup \tilde{b}) = 0$. Par ailleurs $\gamma \cdot \partial(C \cap \rho'B) = \pm 1$ (le nombre

d'intersection produit par le fait que γ sort de $\rho'B$ est l'opposé de celui produit par le fait que γ y entre). Pour obtenir une contradiction, il suffit de démontrer le :

Lemme 3. *Soit γ un chemin de C .*

Si a et b sont homologues dans C ($a - b = \partial S$), et si les extrémités de γ ne sont pas dans S , on a $\gamma.a = \gamma.b$.

Démonstration. Si γ rentre dans un simplexe de S , il doit en sortir. Mais le nombre d'intersection produit par le fait d'entrer dans un simplexe est l'opposé de celui produit par le fait d'en sortir. D'où $\gamma.(a - b) = 0$. □

Le bord de \tilde{C} est donc constitué uniquement de morceaux géodésiques inclus dans $\cup \tilde{b}$. En particulier il est inclus dans un $2\epsilon^{1/3}$ -voisinage de $\partial\rho'B$.

Pour arriver à estimer $\chi(\tilde{C})$, on doit faire une autre remarque sur les courbes \tilde{b} : si on se place sur un morceau lisse connexe m de $\cup \tilde{b}$ privé des points multiples, on va voir que \tilde{C} se trouve au plus d'un côté de m . En effet dans le cas contraire, on pourrait construire deux courbes γ_1, γ_2 sur \tilde{C} , qui partent de ρB et qui arrivent chacune d'un côté de m . En perturbant un peu la situation, on peut donc produire une courbe γ de C qui joint deux points de ρB telle que $\gamma.\cup \tilde{b} = \pm 1$. Mais $\gamma.\partial(C \cap \rho'B) = 0$ (car on sort de $\rho'B$ autant de fois qu'on y rentre), ce qui contredit le lemme précédent.

Passons maintenant à la minoration de $\chi(\tilde{C})$.

La formule de Gauss-Bonnet nous donne :

$$\int_{\tilde{C}} K dV + \int_{\partial\tilde{C}} k_g = 2\pi\chi(\tilde{C}) - 2\pi\chi(\partial\tilde{C}) + \sum(\beta(s) - \pi)$$

où k_g désigne la courbure géodésique. La dernière somme est prise sur les sommets du bord de \tilde{C} et $\beta(s)$ désigne l'angle intérieur au sommet s .

Remarquons que l'orientation de $\partial\tilde{C}$ n'est plus nécessairement la même que celle induite par l'homologie.

Pour minorer $\chi(\tilde{C})$, il faut étudier les sommets s du bord de \tilde{C} .

1^{er} Cas : $s \in \mathcal{S}$ (i.e. le sommet est une extrémité d'une composante connexe qui découpe un bord long).

Si la valence de s (i.e. le nombre d'arêtes qui arrivent en s) est égale à 2, alors l'angle intérieur peut être supérieur à π . Cependant il y a au plus $\frac{2}{\epsilon}$ Longueur($\partial(C \cap \rho'B)$) tels sommets.

Si la valence est supérieure à 3 alors elle est au moins 4 et on modifie un peu la situation comme dans le 2^{ème} cas.

2^{ème} Cas : $s \notin \mathcal{S}$ et s est à l'intersection de plusieurs morceaux de géodésiques (intersection nécessairement transverse).

Dans ce cas, on a un certain nombre de secteurs angulaires et par la remarque précédente, la surface \tilde{C} ne peut pas se trouver dans deux secteurs adjacents. Maintenant, si on considère un secteur angulaire où \tilde{C} se trouve, on le modifie comme dans la figure 1.

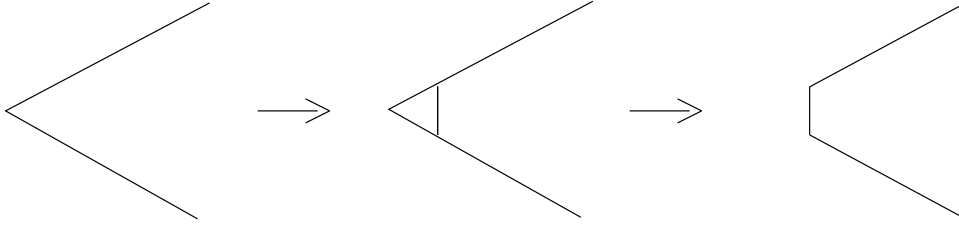


FIG. 1 – Transformation du bord pour un secteur angulaire.

Cette opération ajoute des sommets mais pour chacun d'entre eux l'angle intérieur est inférieur ou égal à π . Grâce à ces transformations du bord de \tilde{C} , on obtient une nouvelle surface \tilde{C} dont le bord est plongé et géodésique par morceaux. Par ailleurs l'angle intérieur en un sommet du bord de \tilde{C} est toujours inférieur à π sauf pour au plus $\frac{2}{\epsilon}$ Longueur($\partial(C \cap \rho'B)$) d'entre eux. La formule de Gauss-Bonnet nous donne donc :

$$\int_{\tilde{C}} K dV = 2\pi\chi(\tilde{C}) + \sum (\beta(s) - \pi)$$

où la dernière somme est prise sur l'ensemble des sommets s du bord de \tilde{C} .

On a donc :

$$\int_{\tilde{C}} K dV \leq 2\pi\chi(\tilde{C}) + \frac{2\pi}{\epsilon} \text{Longueur}(\partial(C \cap \rho'B)),$$

car $\beta(s) \leq 2\pi$ si $s \in \mathcal{S}$. Mais d'une part

$$\int_{\tilde{C}} K dV \geq \int_C K dV$$

car K est négative et d'autre part

$$\text{Longueur}(\partial(C \cap \rho'B)) \leq c(\rho) \text{Volume}(C)$$

si ρ' est générique par la formule de la coaire (voir par exemple [11]).

Autrement dit :

$$\chi(\tilde{C}) \geq \frac{1}{2\pi} \int_C K dV - c(\rho) \text{Volume}(C).$$

Pour finir la démonstration, il reste à contrôler le genre de $C \cap \rho B$ grâce à la minoration de $\chi(\tilde{C})$.

On a :

$$\text{Genre}(C \cap \rho B) \leq \text{Genre}(\tilde{C}) = \text{Nombre de composantes connexes de } \tilde{C} - \frac{\chi(\tilde{C}) + p}{2}$$

où p est le nombre de composantes de bord de \tilde{C} .

Comme les composantes connexes de \tilde{C} ont leur bord dans un $2\epsilon^{1/3}$ -voisinage de $\partial\rho'B$ et qu'elles entrent dans ρB par définition, elles sont en nombre au plus égal à $c(\rho)\text{Volume}(C)$ en utilisant le théorème de Lelong. Finalement, on a :

$$\text{Genre}(C \cap \rho B) \leq c(\rho) \left(\text{Volume}(C) - \int_C K dV \right),$$

qui est l'inégalité que l'on voulait démontrer. □

2.3 Caractère tissé de la limite

Quitte à extraire une sous-suite $\frac{[C_n]}{\text{Volume}(C_n)}$ converge vers un courant T . Le but de ce paragraphe est de démontrer que T est tissé (ou laminaire si $l = 2$). Ces notions étant locales, il suffit de le démontrer dans ρB (avec ρ générique compris entre 0 et 1).

Si on combine ce que l'on a obtenu dans les deux paragraphes précédents on a que le genre de C_n dans ρB est majoré par $O(\text{Volume}(C_n))$. L'idée maintenant va être d'utiliser la démonstration de [5], afin de prouver le caractère tissé de T .

On a deux possibilités. Soit T est nul dans ρB (et le théorème est démontré), soit il existe D une direction pour laquelle $\pi_*(T|_{\rho B}) \neq 0$ (où π est la projection orthogonale sur la droite D). Dans toute la suite on se placera dans ce dernier cas. Si on quadrille le carré $C \subset D$, centré en 0, de côté 2 en $4k^2$ carrés égaux, alors dans [5], on a démontré que le nombre de bonnes îles dans $C_n \cap \rho B$ (i.e. graphes au-dessus des carrés du quadrillage) est minoré par $4k^2(1 - \epsilon_k)S_n$. Ici S_n est essentiellement le recouvrement moyen de $C_n \cap \rho B$ au-dessus de C (i.e. $S_n = \frac{1}{\text{Volume}(C)} \int_{C_n \cap \rho B} \pi^* \omega$ où ω est la forme kählerienne de \mathbb{C}). Par ailleurs ϵ_k est une suite qui tend lentement vers 0 (et dans ce texte toute suite de ce type sera notée ϵ_k).

Montrons maintenant que T est tissé grâce à la minoration du nombre de bonnes îles.

Soit $T_{k,n}$ le courant défini par $T_{k,n} = \frac{1}{\text{Volume}(C_n)} \sum_{\text{bonnes îles}} [\Gamma]$. Le courant $T_{k,n}$ peut aussi s'écrire $T_{k,n} = \int [\Gamma] d\nu_{k,n}(\Gamma)$ où $\nu_{k,n}$ est une mesure sur l'espace métrique compact des graphes au-dessus des carrés du quadrillage.

Si on note $T_n = \frac{[C_n \cap \rho B]}{\text{Volume}(C_n)}$ alors on a :

$$\int T_{k,n} \wedge \pi^* \omega \geq (1 - \epsilon_k) \int T_n \wedge \pi^* \omega,$$

d'où,

$$\int (T_n - T_{k,n}) \wedge \pi^* \omega \leq \epsilon_k.$$

La suite de mesures $\nu_{k,n}$ converge vers une mesure ν_k (quitte à extraire une sous-suite) ce qui implique que $T_{k,n}$ converge vers $T_k = \int [\Gamma] d\nu_k(\Gamma)$ qui est donc uniformément tissé

au-dessus de chaque carré du quadrillage (et uniformément laminaire si $l = 2$). Par ailleurs, on a toujours l'estimée :

$$\int (T_{|\rho B} - T_k) \wedge \pi^* \omega \leq \epsilon_k,$$

avec $T_{|\rho B} - T_k \geq 0$ par construction. Si on raffine de plus en plus le quadrillage (i.e. si k augmente), T_k croît vers un courant T_∞ qui est tissé (ou laminaire si $l = 2$). De plus $T_\infty \leq T_{|\rho B}$ et $\int (T_{|\rho B} - T_\infty) \wedge \pi^* \omega \leq 0$.

Maintenant, si on prend une autre direction D' générique par rapport à T_∞ et telle que $\pi'_*(T_{|\rho B}) \neq 0$ (où π' désigne la projection associée à D'), on construit de même un courant $T'_\infty \leq T_{|\rho B}$ qui est supérieur à T_∞ et qui vérifie $\int (T_{|\rho B} - T'_\infty) \wedge \pi'^* \omega = 0$. En itérant ce procédé on finit par avoir $T_{|\rho B} = T'_\infty$, c'est-à-dire que T est tissé dans ρB (ou laminaire si $l = 2$).

3 Le cas général

On considère ici une suite M_n de sous-ensembles analytiques lisses de dimension s de la boule unité B de \mathbb{C}^l . Par hypothèse le volume de

$$\widetilde{M}_n = \{(x, \mathcal{D}), x \in M_n, x \in \mathcal{D} \in \widetilde{G}(l-s, l) \text{ et } \mathcal{D} \text{ pas transverse à } T_x M_n\}$$

dans $\mathbb{C}^l \times \widetilde{G}(l-s, l)$ est contrôlé par $O(\text{Volume}(M_n))$. Quitte à extraire une sous-suite $\frac{[M_n]}{\text{Volume}(M_n)}$ converge vers un courant T et nous voulons démontrer que T est tissé (ou laminaire si $s = l - 1$).

Voici l'idée de la preuve. Dans un premier temps nous allons trancher M_n avec des plans complexes de dimension $l - s + 1$. On obtiendra ainsi des courbes dans \mathbb{C}^l . Nous verrons que la majoration du volume de \widetilde{M}_n impliquera un bon contrôle de la courbure des courbes obtenues. En particulier, nous pourrons donc construire beaucoup de disques sur ces courbes en utilisant le paragraphe précédent. Pour conclure il nous restera alors à utiliser le théorème de N. Sibony et P. M. Wong ([14]) pour passer des disques à des boules de dimension s .

3.1 Tranchage de M_n par des plans complexes de dimension $l - s + 1$

Dans ce paragraphe, nous allons estimer la courbure des courbes $M_n \cap \mathcal{H}$ avec $\mathcal{H} \in \widetilde{G}(l-s+1, l)$. On utilisera à plusieurs reprises la formule de la coaire que l'on peut trouver dans [11] page 258.

Commençons par considérer l'ensemble

$$\widetilde{\widetilde{M}}_n = \{(x, \mathcal{D}, \mathcal{H}), x \in M_n, x \in \mathcal{D} \in \widetilde{G}(l-s, l) \text{ et } \mathcal{D} \text{ pas transverse à } T_x M_n, \mathcal{D} \subset \mathcal{H} \in \widetilde{G}(l-s+1, l)\}.$$

Le volume de $\widetilde{\widetilde{M}}_n$ étant contrôlé par $O(\text{Volume}(M_n))$ celui de $\widetilde{\widetilde{M}}_n$ l'est aussi.

Maintenant si on note π_3 la projection de $\mathbb{C}^l \times \tilde{G}(l-s, l) \times \tilde{G}(l-s+1, l)$ sur $\tilde{G}(l-s+1, l)$ et que $d\mathcal{H}$ désigne la mesure volume sur $\tilde{G}(l-s+1, l)$, on a :

$$\int \text{Volume}(\widetilde{M}_n \cap \pi_3^{-1}(\mathcal{H})) d\mathcal{H} = O(\text{Volume}(M_n))$$

grâce à la formule de la coaire.

Autrement dit,

$$\int \text{Volume}((M_n)_{\mathcal{H}}) d\mathcal{H} = O(\text{Volume}(M_n))$$

où $(M_n)_{\mathcal{H}} \subset \mathbb{C}^l \times \tilde{G}(l-s, l)$ est défini par :

$$(M_n)_{\mathcal{H}} = \{(x, \mathcal{D}), x \in M_n, x \in \mathcal{D} \in \tilde{G}(l-s, l), \mathcal{D} \text{ pas transverse à } T_x M_n \text{ et } \mathcal{D} \subset \mathcal{H}\}.$$

En particulier pour \mathcal{H} générique $M_n \cap \mathcal{H}$ est une courbe lisse et :

$$(M_n)_{\mathcal{H}} = \{(x, \mathcal{D}), x \in M_n \cap \mathcal{H}, x \in \mathcal{D} \in \tilde{G}(l-s, l), T_x(M_n \cap \mathcal{H}) \subset \mathcal{D} \subset \mathcal{H}\}.$$

Le volume de $(M_n)_{\mathcal{H}}$ est donc égal à celui de $(\widetilde{M}_n \cap \widetilde{\mathcal{H}})$ vu dans $\mathbb{C}^{l-s+1} \times \tilde{G}(l-s, l-s+1)$ (on a identifié \mathcal{H} avec \mathbb{C}^{l-s+1}).

En résumé, quand on tranche M_n avec des plans complexes \mathcal{H} de dimension $l-s+1$, on obtient des courbes $M_n \cap \mathcal{H}$ dont les courbures vérifient :

$$\int \text{Volume}((\widetilde{M}_n \cap \widetilde{\mathcal{H}})) d\mathcal{H} = O(\text{Volume}(M_n)).$$

Fixons maintenant un plan complexe \mathbb{C}^s dans \mathbb{C}^l et notons $G(l-s, l)$ l'ensemble des plans complexes de \mathbb{C}^l de dimension $l-s$ qui passent par 0 et $\tilde{G}(1, s)$ l'ensemble des droites du \mathbb{C}^s que l'on a fixé. L'application :

$$\Phi : \tilde{G}(1, s) \times G(l-s, l) \mapsto \tilde{G}(l-s+1, l)$$

qui envoie (\mathcal{L}, D) sur $\mathcal{L} + D$ est définie sur un ouvert de Zariski de $\tilde{G}(1, s) \times G(l-s, l)$. En utilisant alors la formule de la coaire, on a :

$$\int \text{Volume}((\widetilde{M}_n \cap \widetilde{\mathcal{H}(\mathcal{L})})) d\mathcal{L} dD = O(\text{Volume}(M_n)),$$

où $d\mathcal{L}$ est la mesure volume sur $\tilde{G}(1, s)$, dD celle de $G(l-s, l)$ et $\mathcal{H}(\mathcal{L})$ est l'élément de $\tilde{G}(l-s+1, l)$ formé à partir de \mathcal{L} et D (i.e. $\mathcal{H}(\mathcal{L}) = \mathcal{L} + D$). Par ailleurs dans l'intégrale ci-dessus, on ne considère que les D qui font un angle au moins ϵ avec le \mathbb{C}^s fixé (de sorte à être loin de l'ensemble d'indétermination de Φ).

Maintenant, si on fixe $D \in G(l-s, l)$ générique au sens de la mesure, on a donc :

$$\int \text{Volume}((\widetilde{M}_n \cap \widetilde{\mathcal{H}(\mathcal{L})})) d\mathcal{L} = O(\text{Volume}(M_n))$$

pour une infinité de n .

Dans la suite, on va utiliser ce contrôle de courbure pour construire de bonnes îles sur les courbes $M_n \cap \mathcal{H}(\mathcal{L})$ au-dessus de la droite \mathcal{L} .

3.2 Construction des bonnes îles dans les courbes $M_n \cap \mathcal{H}(\mathcal{L})$

Dans ce paragraphe, nous allons donner une version quantifiée de ce que nous avons fait dans le paragraphe 2. Dans toute la suite, on fixe $\mathcal{H}(\mathcal{L})$ (avec \mathcal{L} générique) et on identifiera $\mathcal{H}(\mathcal{L})$ avec \mathbb{C}^{l-s+1} .

Soit $C_n = M_n \cap \mathcal{H}(\mathcal{L})$. C'est une suite de courbes analytiques lisses de la boule de \mathbb{C}^{l-s+1} obtenue en tranchant B avec $\mathcal{H}(\mathcal{L})$. Par ailleurs, on ne considèrera ici que les $\mathcal{H}(\mathcal{L})$ qui entrent dans $(1 - \epsilon_0)B$.

Reprenons ce que nous avons fait dans le paragraphe 2. Tout d'abord, en utilisant le paragraphe 2.1, on a :

$$\int_{C_n} K dV \geq -\pi \text{Volume}(\widetilde{C}_n).$$

Ensuite, grâce à la proposition 2, on sait que :

$$\text{Genre}(C_n \cap (1 - \epsilon_0)B) \leq c(\epsilon_0) \left(\text{Volume}(C_n) - \int_{C_n} K dV \right).$$

Dans toute la suite, nous noterons G_n le genre de $C_n \cap (1 - \epsilon_0)B$ et V_n le volume de C_n .

Maintenant, on va minorer le nombre de bonnes îles dans $C_n \cap (1 - \epsilon_0)B$ au-dessus de \mathcal{L} en fonction de V_n et du volume de \widetilde{C}_n . Notons π la projection sur \mathcal{L} en suivant la direction D (du paragraphe précédent). La projection par π de C_n est incluse dans un carré C de côté $2R$ (pour un certain $R \in \mathbb{N}$). Si on quadrille ce carré $C \subset \mathcal{L}$ en $4R^2k^2$ carrés égaux (de taille $\frac{1}{k}$), on a le :

Lemme 4. *Le nombre d'îles dans $C_n \cap (1 - \epsilon_0)B$ au-dessus du quadrillage est minoré par*

$$-\frac{k}{\epsilon_k}(G_n + V_n) + k^2(1 - \epsilon_k) \int_{C_n \cap (1 - \epsilon_0 - \epsilon_k)B} \pi^* \omega.$$

Ici ϵ_k est une suite qui tend vers 0 lentement et ω est la forme kählérienne standard de \mathbb{C} .

Démonstration. Elle reprend la preuve de [5].

Dans un premier temps, il s'agit de modifier un peu la courbe C_n de sorte à contrôler la longueur de son bord et le nombre de ses composantes de bord. Plus précisément, si on utilise le paragraphe 2.1 de [5], on peut transformer $C_n \cap (1 - \epsilon_0)B$ en une courbe C_n^* qui a son bord dans $(1 - \epsilon_0 - \epsilon_k/2)B$, qui coïncide avec C_n sur $(1 - \epsilon_0 - \epsilon_k)B$ pour laquelle d'une part le nombre de composantes de bord B_n est majoré par $\frac{1}{\epsilon_k}(G_n + V_n)$ et d'autre part la longueur de son bord L_n est majorée par $\frac{1}{\epsilon_k}V_n$ (à des constantes multiplicatives près que l'on oubliera).

Associé au quadrillage précédent, il y a quatre familles de R^2k^2 carrés deux à deux disjoints. Dans la suite, on considère une de ces familles Q et on pave $C - Q$ en croix comme dans la figure 2.

Le nombre d'îles au-dessus de Q est lié à la caractéristique d'Euler de $C_n^* - \pi^{-1}(Q)$. En effet, si \mathcal{I} désigne l'ensemble des îles de $\pi^{-1}(Q) \cap C_n^*$, on a $\chi(C_n^* - \pi^{-1}(Q)) \geq \chi(C_n^*) - \#\mathcal{I}$

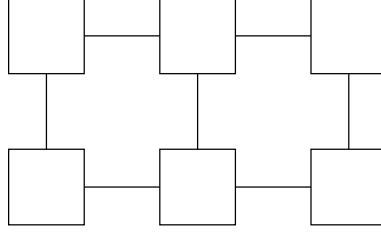


FIG. 2 – Pavage en croix. Les carrés font partie de la famille Q . Les croix pavent $C - Q$.

(enlever une île fait chuter la caractéristique d'Euler de 1). On obtient donc une minoration du nombre d'îles par $-2G_n - B_n - \chi(C_n^* - \pi^{-1}(Q)) \geq -\frac{1}{\epsilon_k^2}(G_n + V_n) - \chi(C_n^* - \pi^{-1}(Q))$. Il reste à majorer $\chi(C_n^* - \pi^{-1}(Q))$ pour obtenir une minoration du cardinal de \mathcal{I} . Pour cela, on construit un graphe où chaque sommet représente une composante connexe au-dessus d'une croix, et où l'on met autant d'arêtes entre deux sommets qu'il y a d'arcs en commun dans le bord des composantes correspondantes. Dans toute la suite, on identifiera sommets et composantes connexes associées. On obtient alors :

$$\begin{aligned} \chi(C_n^* - \pi^{-1}(Q)) &\leq \sum_{\text{sommets}} \chi(\Sigma) - \text{nombre d'arêtes} \\ &\leq s - a \end{aligned}$$

où s est le nombre de sommets et a le nombre d'arêtes. La combinaison de cette relation avec la précédente, nous conduit à une minoration du nombre d'îles au-dessus de Q par $-\frac{1}{\epsilon_k^2}(G_n + V_n) + a - s$. Il nous reste donc à majorer le nombre de sommets et à minorer le nombre d'arêtes. Pour cela, la méthode est exactement la même que dans [5]. Modulo un petit nettoyage des courbes C_n^* , on a d'une part :

$$s \leq R^2 S_n(C - Q) k^2 (1 + \epsilon_k) + \frac{k}{\epsilon_k} L_n$$

où $S_n(C - Q)$ est le recouvrement moyen de C_n^* au-dessus de $C - Q$ (i.e. $S_n(C - Q) = \frac{1}{\text{Aire}(C-Q)} \int_{C_n^* \cap \pi^{-1}(C-Q)} \pi^* \omega$), et d'autre part :

$$a \geq 2R^2 k^2 S_n(C - Q) - hkL_n,$$

où h est une constante universelle (voir [5] pour l'obtention de ces inégalités).

On a donc trouvé une minoration du nombre d'îles au-dessus de Q en

$$-\frac{1}{\epsilon_k^2}(G_n + V_n) + R^2 k^2 (1 - \epsilon_k) S_n(C - Q) - \frac{k}{\epsilon_k} L_n,$$

qui est minoré par

$$-\frac{k}{\epsilon_k^2}(G_n + V_n) + R^2 k^2 (1 - \epsilon_k) S_n(C - Q).$$

Maintenant, en considérant les quatre familles Q de carrés dans le quadrillage initial, on obtient une minoration du nombre d'îles par :

$$-\frac{k}{\epsilon_k^2}(G_n + V_n) + k^2(1 - \epsilon_k) \int_{C_n \cap (1 - \epsilon_0 - \epsilon_k)B} \pi^* \omega$$

qui est la minoration cherchée. □

On peut aussi estimer le nombre d'îles qui ne sont pas ramifiées. En effet, grâce à un argument d'aire, on peut montrer le :

Lemme 5. *Le nombre d'îles non ramifiées (i.e. bonnes îles) dans $C_n \cap (1 - \epsilon_0)B$ au-dessus du quadrillage est minoré par*

$$-\frac{k}{\epsilon_k^2}(G_n + V_n) + k^2(1 - \epsilon_k) \int_{C_n \cap (1 - \epsilon_0 - \epsilon_k)B} \pi^* \omega - k^2 \int_{C_n \cap ((1 - \epsilon_0)B - (1 - \epsilon_0 - \epsilon_k)B)} \pi^* \omega.$$

En combinant ce lemme avec les estimées du début du paragraphe, on obtient alors le :

Lemme 6. *Le nombre de bonnes îles dans $C_n \cap (1 - \epsilon_0)B$ au-dessus du quadrillage est minoré par :*

$$-\frac{k}{\epsilon_k^2} \text{Volume}(\widetilde{C}_n) + k^2(1 - \epsilon_k) \int_{C_n \cap (1 - \epsilon_0 - \epsilon_k)B} \pi^* \omega - k^2 \int_{C_n \cap ((1 - \epsilon_0)B - (1 - \epsilon_0 - \epsilon_k)B)} \pi^* \omega.$$

3.3 Démonstration du critère

Quitte à extraire une sous-suite $\frac{[M_n]}{\text{Volume}(M_n)}$ converge vers un courant T . Le but de ce paragraphe est de démontrer que T est tissé (ou laminaire si $s = l - 1$). Pour cela il suffit de le démontrer dans $(1 - \epsilon_0)B$ (avec ϵ_0 petit). Dans toute la suite, on supposera que $T|_{(1 - \epsilon_0)B} \neq 0$ (sinon il n'y a rien à faire) et que $(\pi_D)_* T|_{(1 - \epsilon_0)B} \neq 0$ (où π_D est la projection sur le \mathbb{C}^s que l'on avait fixé en suivant la direction générique D du paragraphe 3.1).

Rappelons que pour démontrer le critère, nous allons utiliser le théorème de N. Sibony et P. M. Wong (voir [14]). Plus précisément, l'énoncé que nous allons utiliser est le (voir [8] ou lemme 3.7 de [7]) :

Théorème. [14]

Soit \mathcal{D} une famille de droites dans \mathbb{C}^s passant par un point a et soit B' la boule unité de \mathbb{C}^s centrée en a .

Supposons que $\mathcal{H}_{2s-2}(\mathcal{D}) \geq \frac{1}{2}$ où \mathcal{H}_{2s-2} est la mesure volume sur l'ensemble des droites de \mathbb{C}^s qui passent par a . Soit g une fonction qui est holomorphe au voisinage de a ainsi que sur les droites de \mathcal{D} intersectées avec rB' . Alors g se prolonge en une fonction holomorphe dans la boule crB' (ici c est indépendante de g et \mathcal{D}). De plus, on a :

$$\sup_{b \in crB'} |g(b) - g(a)| \leq \sup_{b \in \mathcal{D} \cap rB'} |g(b) - g(a)|.$$

Reprenons les notations des paragraphes précédents. Si on considère un point x de \mathbb{C}^s et une droite L de $G(1, s)$ (qui est l'ensemble des droites de \mathbb{C}^s qui passent par 0), nous noterons toujours $\mathcal{H}(x + L)$ le plan complexe de dimension $l - s + 1$ associé (i.e. $\mathcal{H}(x + L) = x + L + D$).

Notons maintenant $m(x, L)$ le nombre de bonnes îles dans $M_n \cap \mathcal{H}(x + L) \cap (1 - \epsilon_0)B$ au-dessus du carré S où $S \subset (x + L)$ est le carré de taille $\frac{1}{k}$ centré en x .

Voici le plan de la démonstration. Dans un premier paragraphe, on va minorer $\int m(x, L)dL dx$. Dans le second, on verra que la combinaison de cette minoration avec le théorème de N. Sibony et P. M. Wong permettra de construire beaucoup de bonnes îles (de dimension s) dans les sous-ensembles analytiques M_n . Enfin dans le dernier, on démontrera le caractère tissé de T .

3.3.1 Minoration de $\int m(x, L)dL dx$

Considérons l'application $\Phi : \mathbb{C}^s \times G(1, s) \mapsto \tilde{G}(1, s)$ qui envoie (x, L) sur $x + L$. En utilisant la formule de coaire, on a :

$$\int \text{apJac}_{4(s-1)} \Phi m(x, L)dL dx = \int \int_{\mathcal{L}} m(y, L(\mathcal{L}))dy d\mathcal{L},$$

où dy est la mesure de Lebesgue sur \mathbb{C} et $L(\mathcal{L})$ est la direction de \mathcal{L} .

Le jacobien $\text{apJac}_{4(s-1)} \Phi$ ne jouera aucun rôle dans la suite : on pourra donc l'oublier. Nous sommes donc ramenés à minorer :

$$\int \int_{\mathcal{L}} m(y, L(\mathcal{L}))dy d\mathcal{L}.$$

Pour faire cette minoration, nous allons utiliser les estimées du paragraphe précédent.

Fixons une droite \mathcal{L} . L'image de la boule unité B par π_D (où π_D est le projection sur \mathbb{C}^s en suivant la direction D) dans \mathcal{L} est incluse dans un carré de longueur $2R$ (pour un certain $R \in \mathbb{N}$). Soit maintenant \mathcal{Q}_k le quadrillage de ce carré en $4R^2k^2$ carrés égaux de taille $\frac{1}{k}$ et dy_0 la mesure de Lebesgue sur un de ces carrés C_0 . Si y_0 est dans C_0 , on notera $y_i(y_0)$ les $4R^2k^2$ points des carrés du quadrillage qui dans ceux-ci ont la même position que y_0 dans C_0 . Ainsi, on a :

$$\int_{\mathcal{L}} m(y, L(\mathcal{L}))dy = \int_{C_0} \sum_{i=1}^{4R^2k^2} m(y_i(y_0), L(\mathcal{L}))dy_0.$$

Autrement dit, par le lemme 6,

$$\begin{aligned} \int m(x, L)dL dx &= \int \int_{C_0} \sum_{i=1}^{4R^2k^2} m(y_i(y_0), L(\mathcal{L}))dy_0 d\mathcal{L} \\ &\geq (1 - \epsilon_k) \frac{k^2}{k^2} \int \left(\int_{M_n \cap \mathcal{H}(\mathcal{L}) \cap (1 - \epsilon_0 - \epsilon_k)B} \pi^* \omega \right) d\mathcal{L} - \frac{a_{n,k}}{k^2} \end{aligned}$$

avec

$$a_{n,k} = \frac{k}{\epsilon_k^2} \int \text{Volume}(M_n \widetilde{\cap} \mathcal{H}(\mathcal{L})) d\mathcal{L} + b_{n,k},$$

où

$$b_{n,k} = k^2 \int \int_{M_n \cap \mathcal{H}(\mathcal{L}) \cap ((1-\epsilon_0)B - (1-\epsilon_0-\epsilon_k)B)} \pi^* \omega d\mathcal{L}.$$

Dans ces expressions, π est la projection sur \mathcal{L} (dans $\mathcal{H}(\mathcal{L})$) induite par D et ω est la forme volume sur \mathcal{L} .

Maintenant, grâce au paragraphe 3.1, on a :

$$\int \text{Volume}(M_n \widetilde{\cap} \mathcal{H}(\mathcal{L})) d\mathcal{L} = O(\text{Volume}(M_n)).$$

Autrement dit,

$$\int m(x, L) dL dx \geq (1-\epsilon_k) \int \text{Volume}(\pi(M_n \cap \mathcal{H}(\mathcal{L}) \cap (1-\epsilon_0-\epsilon_k)B)) d\mathcal{L} - \frac{1}{k\epsilon_k^2} O(\text{Volume}(M_n)) - \frac{b_{n,k}}{k^2}.$$

En particulier, si on note $n(y, \mathcal{L})$ le nombre d'antécédents de $y \in \mathcal{L}$ par π dans $M_n \cap \mathcal{H}(\mathcal{L}) \cap (1-\epsilon_0-\epsilon_k)B$, on a :

$$\int m(x, L) dL dx \geq (1-\epsilon_k) \int \int_{\mathcal{L}} n(y, \mathcal{L}) dy d\mathcal{L} - \frac{1}{k\epsilon_k^2} O(\text{Volume}(M_n)) - \frac{b_{n,k}}{k^2},$$

d'où (toujours en oubliant le jacobien de Φ),

$$\int m(x, L) dL dx \geq (1-\epsilon_k) \int n(x) dL dx - \frac{1}{k\epsilon_k^2} O(\text{Volume}(M_n)) - \frac{b_{n,k}}{k^2},$$

où $n(x)$ est le nombre de relevés du point x dans $M_n \cap (1-\epsilon_0-\epsilon_k)B$. Mais si ϵ_0 est suffisamment générique, alors l'inégalité précédente reste vraie si $n(x)$ est le nombre de relevés du point x dans $M_n \cap (1-\epsilon_0)B$. Dans toute la suite $n(x)$ désignera cette dernière quantité. De plus, toujours parce que ϵ_0 est suffisamment générique, on a :

$$\frac{b_{n,k}}{k^2} \leq \epsilon_k \int n(x) dL dx.$$

En particulier, comme $m(x, L) \leq n(x)$ on en déduit que :

$$0 \leq \int (n(x) - m(x, L)) dL dx \leq \epsilon_k \text{Volume}(M_n),$$

avec ϵ_k qui tend vers 0 lentement.

3.3.2 Construction des bonnes îles

Grâce à l'estimée obtenue dans le paragraphe précédent, on va pouvoir utiliser le théorème de N. Sibony et P. M. Wong. Pour cela soit (n est fixé) :

$$X_k = \{x, n(x)(1 - \epsilon'_k) \geq m(x, L) \text{ pour un ensemble } \Sigma_x \text{ de } L \text{ de mesure supérieure à } \epsilon'_k\}.$$

Il s'agit de montrer que cet ensemble est petit.

Si on reprend l'estimée précédente, on a :

$$\epsilon_k \text{Volume}(M_n) \geq \int_{X_k} \int_{\Sigma_x} (n(x) - m(x, L)) dL dx \geq \epsilon'_k \int_{X_k} \int_{\Sigma_x} n(x) dL dx$$

Ce qui implique que l'on a une majoration de la forme :

$$\int_{X_k} n(x) dx \leq \epsilon_k \text{Volume}(M_n),$$

pourvu que la suite $(\epsilon'_k)^2$ tende vers 0 moins vite que ϵ_k .

Considérons un point x hors de X_k qui n'est pas dans les valeurs critiques de $\pi_D|_{M_n}$. L'ensemble des droites L pour lesquelles $n(x)(1 - \epsilon'_k) \leq m(x, L)$ est de mesure au moins $1 - \epsilon'_k$. Notons $x_1, \dots, x_{n(x)}$ les relevés du point x dans $M_n \cap (1 - \epsilon_0)B$. On dira que L se relève bien en x_i s'il existe une bonne île dans $M_n \cap (1 - \epsilon_0)B$ qui contient x_i et qui est au-dessus du carré de taille $\frac{1}{k}$ centré en x dans $x + L$. Comme x n'est pas dans X_k , le nombre de x_i pour lesquels la mesure de L qui se relèvent bien en x_i est majoré par $\frac{1}{2}$ est au plus égal à $\epsilon'_k n(x)$ (à des constantes multiplicatives près). En utilisant maintenant le théorème de N. Sibony et P. M. Wong, on en déduit que l'on peut construire $(1 - \epsilon'_k)n(x)$ relevés du cube de taille $\frac{c}{k}$ centré en x dans $M_n \cap (1 - \epsilon_0)B$. La restriction de π_D à ces relevés est un biholomorphisme sur le cube de taille $\frac{c}{k}$ centré en x .

3.3.3 Caractère tissé de la limite

Dans ce paragraphe nous allons montrer que la limite T est tissée dans $(1 - \epsilon_0)B$.

Rappelons que $(\pi_D)_* T|_{(1 - \epsilon_0)B} \neq 0$ (car la direction D est choisie générique). L'image de la boule B par la projection π_D sur \mathbb{C}^s est incluse dans le cube C centré en 0 de taille cR (pour un certain $R \in \mathbb{N}$). Considérons le découpage de C en cubes de taille $\frac{c}{2k}$. Nous appellerons bonnes îles les préimages P par π_D de ces cubes dans $M_n \cap (1 - \epsilon_0)B$ pour lesquelles la restriction de π_D à P est un biholomorphisme sur le cube du découpage qui lui correspond. D'après l'estimée sur le volume de X_k et le nombre de branches inverses au-dessus d'un point hors de X_k , on peut minorer le nombre de bonnes îles au-dessus du quadrillage par $(\frac{2k}{c})^{2s} (1 - \epsilon'_k)(\text{Volume}(\pi_D(M_n \cap (1 - \epsilon_0)B)) - \epsilon_k \text{Volume}(M_n))$. Maintenant comme $(\pi_D)_* T|_{(1 - \epsilon_0)B} \neq 0$, on en déduit que le nombre de bonnes îles est minoré par $(\frac{2k}{c})^{2s} (1 - \epsilon_k) \text{Volume}(\pi_D(M_n \cap (1 - \epsilon_0)B))$.

Soit $T_{k,n}$ le courant défini par $T_{k,n} = \frac{1}{\text{Volume}(M_n)} \sum_{\text{bonnes îles}} [\Gamma]$. Le courant $T_{k,n}$ peut aussi s'écrire $T_{k,n} = \int [\Gamma] d\nu_{k,n}(\Gamma)$ où $\nu_{k,n}$ est une mesure sur l'espace métrique compact des graphes de dimension s au-dessus des cubes du quadrillage.

Si on note $T_n = \frac{[M_n \cap (1-\epsilon_0)B]}{\text{Volume}(M_n)}$ alors on a :

$$\int T_{k,n} \wedge \pi_D^*(\omega^s) \geq (1 - \epsilon_k) \int T_n \wedge \pi_D^*(\omega^s),$$

d'où,

$$\int (T_n - T_{k,n}) \wedge \pi_D^*(\omega^s) \leq \epsilon_k.$$

La suite de mesures $\nu_{k,n}$ converge vers une mesure ν_k (quitte à extraire une sous-suite) ce qui implique que $T_{k,n}$ converge vers $T_k = \int [\Gamma] d\nu_k(\Gamma)$ qui est donc uniformément tissé au-dessus de chaque cube du quadrillage (et uniformément laminaire si $s = l - 1$). Par ailleurs, on a toujours l'estimée :

$$\int (T_{|(1-\epsilon_0)B} - T_k) \wedge \pi_D^*(\omega^s) \leq \epsilon_k,$$

avec $T_{|(1-\epsilon_0)B} - T_k \geq 0$ par construction. Si on raffine de plus en plus le quadrillage (i.e. si k augmente), T_k croît vers un courant T_∞ qui est tissé (ou laminaire si $s = l - 1$). De plus $T_\infty \leq T_{|(1-\epsilon_0)B}$ et $\int (T_{|(1-\epsilon_0)B} - T_\infty) \wedge \pi_D^*(\omega^s) \leq 0$.

Maintenant, si on prend une autre direction D' générique par rapport à T_∞ et telle que $(\pi_{D'})_*(T_{|(1-\epsilon_0)B}) \neq 0$ (où $\pi_{D'}$ désigne la projection associée à D'), on construit de même un courant $T'_\infty \leq T_{|(1-\epsilon_0)B}$ qui est supérieur à T_∞ et qui vérifie $\int (T_{|(1-\epsilon_0)B} - T'_\infty) \wedge \pi_{D'}^*(\omega^s) = 0$. En itérant ce procédé on finit par avoir $T_{|(1-\epsilon_0)B} = T'_\infty$, c'est-à-dire que T est tissé dans $(1 - \epsilon_0)B$ (ou laminaire si $s = l - 1$). C'est ce que l'on voulait démontrer.

Références

- [1] E. Bedford, M. Lyubich et J. Smillie, *Polynomial diffeomorphisms of \mathbb{C}^2 . IV : The measure of maximal entropy and laminar currents*, Invent. Math., **112** (1993), 77-125.
- [2] E. Bishop, *Conditions for the analyticity of certain sets*, Michigan Math. J., **11** (1964), 289-304.
- [3] S. Cantat, *Dynamique des automorphismes des surfaces K3*, Acta Math., **187** (2001), 1-57.
- [4] E. M. Chirka, *Complex analytic sets*, Kluwer Academic Publishers, Dordrecht (1989).
- [5] H. de Thélin, *Sur la laminarité de certains courants*, Ann. Sci. Ecole Norm. Sup., **37** (2004), 304-311.
- [6] H. de Thélin, *Un phénomène de concentration de genre*, Math. Ann., **332** (2005), 483-498.

- [7] T.-C. Dinh, *Suites d'applications méromorphes multivaluées et courants laminaires*, J. Geom. Anal., **15** (2005), 207-227.
- [8] T.-C. Dinh et N. Sibony, *Dynamique des applications d'allure polynomiale*, J. Math. Pures Appl., **82** (2003), 367-423.
- [9] R. Dujardin, *Laminar currents in \mathbb{P}^2* , Math. Ann., **325** (2003), 745-765.
- [10] J. Duval et N. Sibony, *Polynomial convexity, rational convexity, and currents*, Duke Math. J., **79** (1995), 487-513.
- [11] H. Federer, *Geometric measure theory*, Springer Verlag (1969).
- [12] R. Langevin et T. Shifrin, *Polar varieties and integral geometry*, Amer. J. Math., **104** (1982), 553-605.
- [13] P. Lelong, *Propriétés métriques des variétés analytiques complexes définies par une équation*, Ann. Sci. Ecole Norm. Sup., **67** (1950), 393-419.
- [14] N. Sibony et P. M. Wong, *Some results on global analytic sets*, Séminaire Pierre Lelong-Henri Skoda, Lecture Notes in Math., **822** (1980), 221-237.

Henry de Thélin
 Université Paris-Sud (Paris 11)
 Mathématique, Bât. 425
 91405 Orsay
 France